



Conception et Planification de Réseaux

Optimisation des Métriques de Routage IP

Olivier BRUN et Jean-Marie GARCIA

Plan

- Introduction
- Modélisation du problème
- Algorithme de résolution
- Résultats
- Conclusion



Introduction

- **Evolution de l'Internet vers une architecture de communication globale**
 - Implique la gestion de services multimédia beaucoup plus sophistiqués que le traditionnel service au mieux (best effort) du monde IP
 - Les futurs réseaux IP à intégration de services devront être capables de supporter un spectre très large d'exigences de QoS
 - bornes sur le délai de bout-en-bout des communications, sur leur bande-passante, sur leur gigue, et/ou sur leur taux de pertes
 - Contrat de QoS entre un fournisseur d'accès Internet (ISP) et ses clients : SLA (Service Level Agreement)

Contexte des réseaux

- **Les opérateurs doivent adapter en permanence leurs infrastructures de communication**
 - Nouvelles exigences de QoS, augmentation continue du trafic Internet, impératifs de plus en plus fort de sécurisation.
 - Le contexte concurrentiel qui induit des marges bénéficiaires réduites, ne permet plus d'améliorer les performances d'un réseau par un surdimensionnement excessif des équipements.
 - Les opérateurs et les ISPs s'intéressent de plus en plus aux techniques d'ingénierie de trafic, moins coûteuse et généralement basées sur des technologies déjà existantes,
 - Eviter les phénomènes de congestion du trafic et les dégradations du service qui en résultent.

- **Concept clé : optimisation du routage**
 - Utilisation plus efficace des ressources réseaux existantes en adaptant le routage aux trafics transportés.
 - Utilisation plus efficace des ressources réseaux existantes en adaptant le routage aux trafics transportés.
 - en particulier pour les réseaux ayant une distribution de trafic non uniforme.
 - Les spécificités de routage IP rendent très difficile l'ingénierie de trafic dans les réseaux de l'Internet.

Le Routage IP

● Calcul des routes dans un réseau IP

- **Effectué de manière décentralisée par des protocoles de routage.**
 - OSPF (Open Shortest Path First) et ISIS (Intermediate System to Intermediate System) sont actuellement les deux protocoles de routage intra-domaine les plus utilisés dans l'Internet.
- **Un flot est routé suivant un plus court chemin vers la destination**
 - partage de charge équitable en un noeud si plusieurs liens sortants sont sur des plus courts chemins vers la destination.
- **Le poids des liens, et par conséquent les plus courts chemins utilisés par le routage, peuvent être changés par l'administrateur du réseau.**
 - Minimisation du nombre de hops (poids à 1) ou du délais de propagation (poids proportionnel à la distance physique).
 - Heuristique standard recommandée par Cisco : prendre des poids inversement proportionnel à la capacité des liens de transmission.
 - Mauvaise utilisation des ressources, variations de trafic, pannes.

Optimisation des Métriques IP

● Historique

- On a longtemps considéré que des protocoles comme OSPF ou ISIS n'étaient pas assez flexibles pour une ingénierie de trafic efficace.
- Une des raisons de l'introduction des technologies de commutation d'étiquettes MPLS (Multi-Protocol Label Switching) qui permettent de fixer le chemin de chaque flot dans le réseau.
- Récemment, la communauté scientifique, sous l'impulsion de Fortz et Thorup en particulier, s'est intéressée de plus en plus au problème d'optimisation des métriques de routage IP
 - Problème NP-difficile.
 - Une affectation suffisamment intelligente des métriques de routage permet souvent d'obtenir un routage aussi performant que le routage MPLS sans coût financier supplémentaire.
 - Performances proches de celles d'un routage optimal par partage de charge dans certains cas.

Optimisation des Métriques IP

● Objectifs

- **Améliorer les performances globales d'un réseau IP**
 - en réduisant la congestion des liens,
 - en minimisant les délais et les taux de pertes de bout-en-bout des flots.
- **Dégager plus de bande-passante résiduelle sur les chemins empruntés par les flots pour :**
 - augmenter la capacité du réseau à tolérer sans dégradation forte du service des variations brusques du trafic sur une courte période de temps,
 - réduire la fréquence des modifications du plan de routage du à des augmentations prévisibles de trafic.
- **Augmenter la robustesse du réseau en prenant en compte la défaillance des équipements dans le processus d'optimisation.**



Modélisation du problème

Modélisation du problème

- **Plusieurs étapes :**
 - **Modélisation du réseau,**
 - Modélisation de la topologie,
 - Définition d'une solution au problème.
 - **Modélisation du trafic,**
 - **Formulation du coût d'une solution,**

Modélisation du réseau

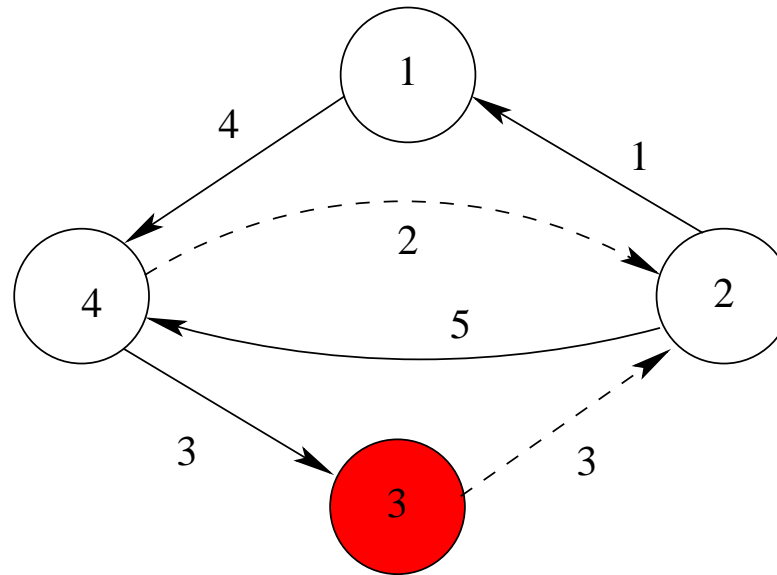
- **Un réseau IP est modélisé sous la forme d'un graphe orienté**
 - les noeuds correspondent aux routeurs et les arcs aux interfaces de communication des routeurs.
 - On note N le nombre de noeuds du graphe et M le nombre d'arcs du graphe.
 - A chaque arc a du graphe est associé un poids w_a qui représente la métrique de l'interface correspondante et qui peut prendre toute valeur dans l'intervalle $\Omega = [1, 2^{16} - 1]$.
 - A chaque arc a du graphe est associé une capacité C_a en paquets/seconde.

Solution du problème

- **Une solution admissible du problème d'optimisation des métriques de routage IP est un vecteur $w = (w_1, \dots, w_M) \in \Omega^M$.**
- **Le nombre de solutions du problèmes est donc environ 2^{16M} .**
- **Pour les réseaux qui nous intéressent, les valeurs de M vont se situer entre quelques dizaines et quelques milliers.**
- **Etant donné une solution admissible $w = (w_1, \dots, w_M)$, on peut calculer par un algo. de plus courts chemins (PCC) :**
 - **$D_i^x(w)$ est la distance du noeud i à la destination x ,**
 - **$\delta_{i,j}^x(w) = 1$ si l'arc (i, j) est sur un PCC vers la destination x et 0 sinon,**
 - **$n_i^x(w) = \sum_j \delta_{i,j}^x(w)$ représente le nombre d'arcs sortants du noeud i qui sont sur un PCC vers la destination x .**

Modélisation des Plus Courts Chemins

● Exemple de Modélisation des PCC (vers x=3)



$$D_1^3 = 7, D_2^3 = 8, D_3^3 = 0, D_4^3 = 3$$

$$\delta_{1,4}^3 = 1, \delta_{2,1}^3 = 1, \delta_{2,4}^3 = 1, \delta_{3,2}^3 = 0, \delta_{4,2}^3 = 0, \delta_{4,3}^3 = 1$$

$$n_1^3 = 1, n_2^3 = 2, n_3^3 = 0, n_4^3 = 1$$

Modélisation du Trafic

- **Le réseau écoule un ensemble de K flots de communication.**
 - Chaque flot $k = 1, \dots, K$ est caractérisé par sa source $s(k)$, sa destination $t(k)$ et sa demande en bande-passante d^k .
 - Chaque flot est un couple origine-destination unique $(K \leq N, (N - 1))$
 - Aggrégation des trafics ayant mêmes origine-destination : même routage,
 - La prise en compte de DiffServ et du routage par ToS (Type Of Service) peuvent être vues comme des extensions de l'algorithme présenté

Modélisation du Trafic

● Notations

- λ_i^x : le trafic direct émis de i vers la destination x

$$\lambda_i^x = \sum_{\substack{k, \\ s(k) = i, t(k) = x}} d^k$$

- $\gamma_i^x(w)$: le trafic reçu au noeud i , direct et en transit, pour la destination x .

$$\gamma_i^x(w) = \lambda_i^x + \sum_{j \neq x} \frac{\delta_{j,i}^x(w)}{n_j^x(w)} \gamma_j^x(w)$$

- La charge du lien (i, j) s'écrit alors :

$$Y_{i,j}(w) = \sum_{x=1}^N \frac{\delta_{i,j}^x(w)}{n_i^x(w)} \gamma_i^x(w)$$

Modélisation du problème

- **Pour un vecteur de métriques $w = (w_1, \dots, w_M)$,**

- **Par un algorithme de PCC, on peut calculer les variables $\delta_{i,j}^x(w)$ et $n_i^x(w)$ représentant les PCC pour la destination x**

- **On en déduit le trafic $\gamma_i^x(w)$ au noeud i pour chaque destination x**

$$\gamma_i^x(w) = \lambda_i^x + \sum_{j \neq x} \frac{\delta_{j,i}^x(w)}{n_j^x(w)} \gamma_j^x(w)$$

- **On obtient ainsi le trafic $Y_{i,j}(w)$ sur chaque lien (i, j)**

$$Y_{i,j}(w) = \sum_{x=1}^N \frac{\delta_{i,j}^x(w)}{n_i^x(w)} \gamma_i^x(w)$$

- **Quel est le coût associé à cette charge des liens ?**

Formulation du Coût d'une Solution

● Coût additif

$$\Phi(w) = \sum_{l=1}^M \Phi_l(w)$$

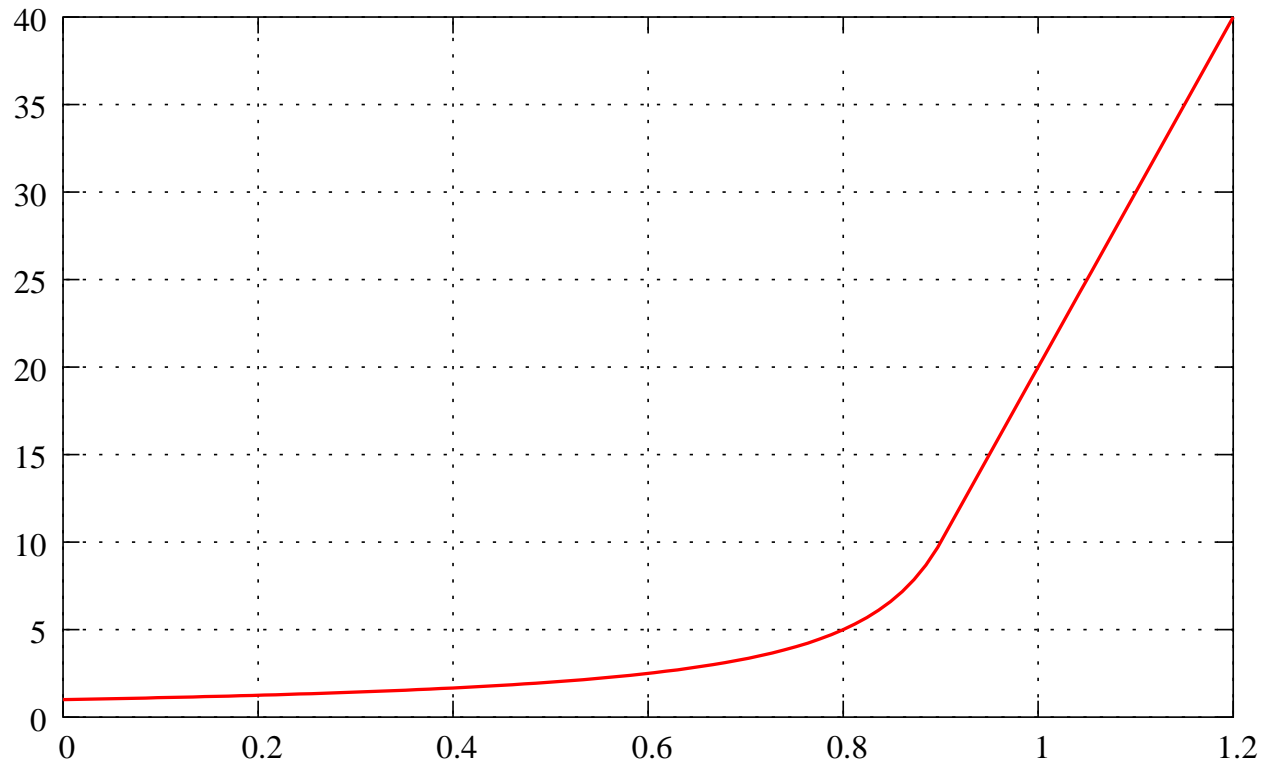
- $\Phi_l(w)$ représente la contribution du lien l au coût global
- On peut prendre par exemple le délais moyen de séjour M/M/1 :

$$\Phi_{i,j}(Y_{i,j}) = \begin{cases} \frac{Y_{i,j}}{C_{i,j} - Y_{i,j}} & \text{si } Y_{i,j} \leq \bar{Y}_{i,j} \\ \frac{\bar{Y}_{i,j}}{C_{i,j} - \bar{Y}_{i,j}} + K_2 \frac{C_{i,j}}{[C_{i,j} - \bar{Y}_{i,j}]^2} [Y_{i,j} - \bar{Y}_{i,j}] & \text{si } Y_{i,j} > \bar{Y}_{i,j} \end{cases}$$

- $\bar{Y}_{i,j} = K_1 C_{i,j}$ est un seuil de charge ($K_1 = 0.9$ par exemple)
- Le coefficient $K_2 > 1$ est utilisé pour associer un coût aux solutions non admissibles au sens des capacités ($Y_{i,j} \geq C_{i,j}$).
- La pénalité appliquée dans le cas $Y_{i,j} > \bar{Y}_{i,j}$ correspond à la dérivée du nombre moyen de paquets au seuil de charge $\bar{Y}_{i,j}$ multipliée par le coefficient K_2 .

Coût d'une solution

● Allure du coût précédent



$$K_1 = 0.9, K_2 = 1 \text{ et } C_{i,j} = 1.$$

Formulation du problème

- Le problème s'écrit :

$$\min_{w \in \Omega^M} \sum_{(i,j)} \Phi_{i,j} [Y_{i,j}(w)]$$

avec,

$$Y_{i,j}(w) = \sum_{x=1}^N \frac{\delta_{i,j}^x(w)}{n_i^x(w)} \gamma_i^x(w) \quad \forall i, j = 1 \dots N \quad (1)$$

$$\gamma_i^x(w) = \lambda_i^x + \sum_{j \neq x} \frac{\delta_{j,i}^x(w)}{n_j^x(w)} \gamma_j^x(w) \quad \forall i, x = 1 \dots N \quad (2)$$

Les paramètres $\delta_{i,j}^x(w)$ et $n_i^x(w)$ étant obtenus directement à partir du vecteur de métriques w par résolution d'un problème de PCC.



Algorithme d'Optimisation des métriques IP

Méthodes de Recherche Locale

- Soit le problème d'optimisation suivant :

$$\left\{ \begin{array}{ll} \text{Minimiser :} & F(x) \\ \text{sous la contrainte :} & x \in X \subset \mathbb{R}^n \end{array} \right.$$

- On suppose que F est une fonction quelconque définie de \mathbb{R}^n vers \mathbb{R} et X est un sous-ensemble discret de \mathbb{R}^n .
- On définit $V(x) \subset X$, le voisinage d'une solution admissible x
- Partant d'une solution initiale x^0 , les techniques de recherche locale vont générer une suite de solutions x^1, x^2, \dots telles que :

$$\forall i, \quad \left\{ \begin{array}{l} x^{i+1} \in V(x^i) \\ F(x^{i+1}) < F(x^i) \end{array} \right.$$

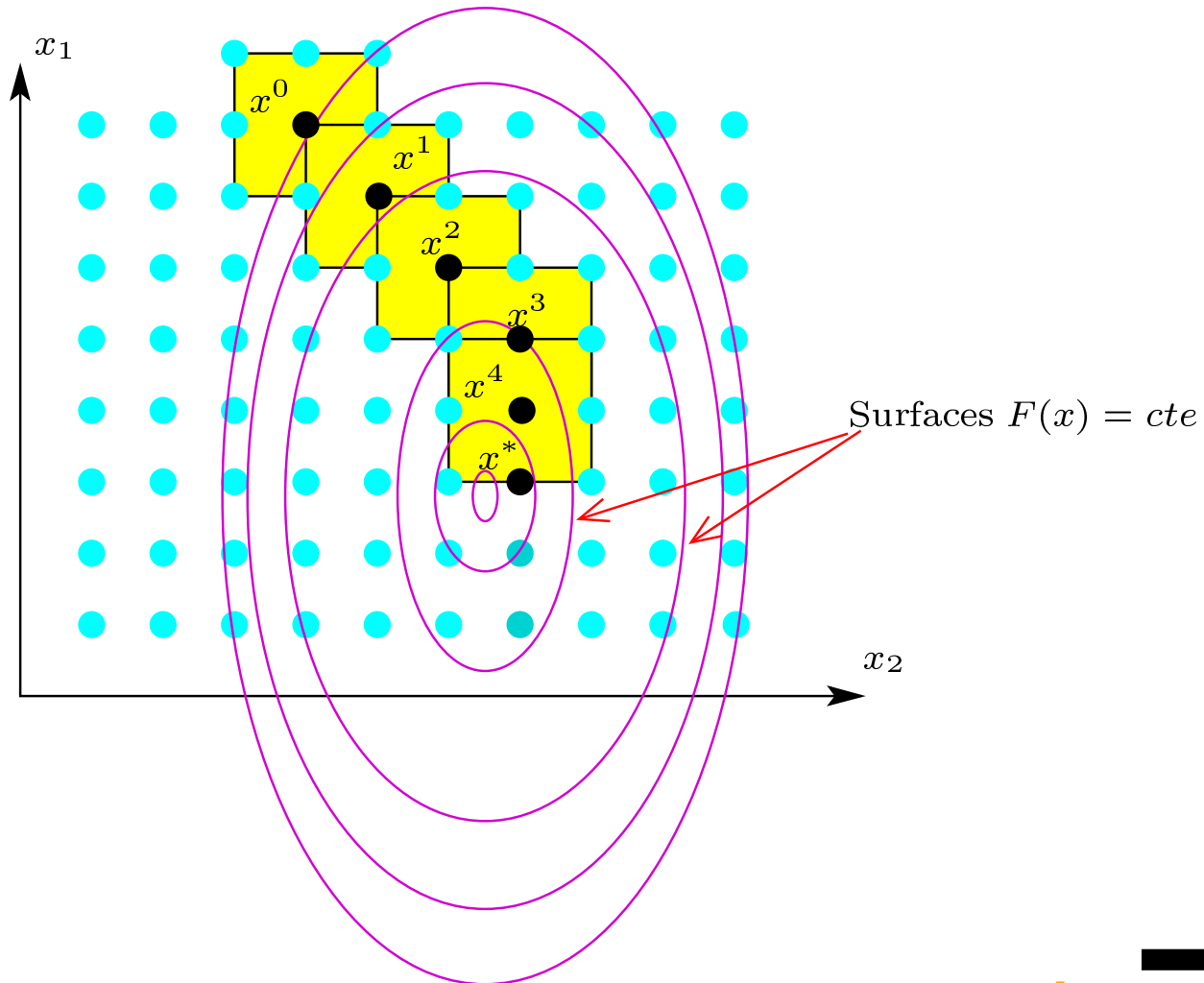
Méthodes de Recherche Locale

● Propriétés

- Sous des hypothèses de convexité et de connexité par rapport à la structure de voisinage choisie, la recherche converge avec une décroissance monotone du coût $F(x)$ vers la solution optimale x^* .
- Si le problème n'est pas convexe, en fonction de la solution initiale x^0 , la méthode peut converger vers une solution $x^n \neq x^*$ telle que $F(x) \geq F(x^n), \forall x \in V(x^n)$. On peut accepter une solution x^{n+1} telle que $F(x) \geq F(x^n)$ pour sortir de cet optimum local.
- Les différentes méthodes de recherche locale se distinguent par la technique de génération de x^{i+1} à partir de x^i , et par la technique employée pour sortir des optima locaux.
- recuit simulé (simulated annealing), recherche tabou (tabu search), etc.

Méthodes de Recherche Locale

● Illustration du principe



Algorithme d'Optimisation des Métriques IP

● Principe

● Algorithme de recherche locale.

- Le voisinage d'une solution contient M solutions.
- La solution associée au lien i est obtenue en augmentant la métrique de ce lien de la quantité minimale permettant de dévier du trafic de ce lien.
- Les métriques ne peuvent qu'augmenter.

● Calcul du coût de la solution associée au lien i

- Déterminer l'augmentation de métrique permettant de dévier du trafic du lien i,
- Effectuer la modification et re-calculer les PCC,
- Re-propager les trafics et calculer le coût.

● Points clés de l'algorithme

- Structure de voisinage,
- Algorithme de PCC dynamique,
- Propagation dynamique.

Structure de Voisinage

● Définition de la structure de voisinage

$$V(w) = \{w^1, w^2, \dots, w^M\}$$

où :

$$w^i = (w_1, w_2, \dots, w_i + \Delta_i, \dots, w_M)$$

avec :

$$\Delta_i = \operatorname{argmin}_{\Delta \geq 1} [Y_i(w_1, \dots, w_i + \Delta, \dots, w_M) < Y_i(w)]$$

- Le voisinage d'une solution w contient exactement M solutions.
- La solution associée au lien i est obtenue en augmentant la métrique de ce lien de la quantité minimale permettant de réduire la charge de ce lien, c'est à dire de dévier du trafic de ce lien.
- Incorpore les situations de partage de charge.

Génération du voisinage

● Génération du voisin w^i

- Calcul de la variation minimale de métrique Δ_i du lien i
- Notons F_i l'ensemble des flots passant par le lien i . Si $F_i = \emptyset$, $\Delta_i = \infty$ (pas de déviation possible). Sinon :
 - (a) On supprime le lien i : $w' = (w_1, \dots, w_{i-1}, \infty, w_{i+1}, \dots, w_M)$.
 - (b) Mise à jour des tables de distances $D_u^v(w')$ par un algorithme de PCC.
 - (c) On calcule :

$$d_{min} = \min_{f \in F} \left[D_{s(f)}^{t(f)}(w') - D_{s(f)}^{t(f)}(w) \right]$$

, qui correspond à la variation minimale de distance entre la source $s(f)$ et la destination $t(f)$ de chaque flot f passant par le lien i .

- (d) On définit Δ_i de la façon suivante :

$$\Delta_i = \begin{cases} 1 & \text{si } d_{min} = 0 \\ d_{min} & \text{si } 0 < d_{min} < \infty \\ \infty & \text{si } d_{min} = \infty \end{cases}$$

Génération du voisinage

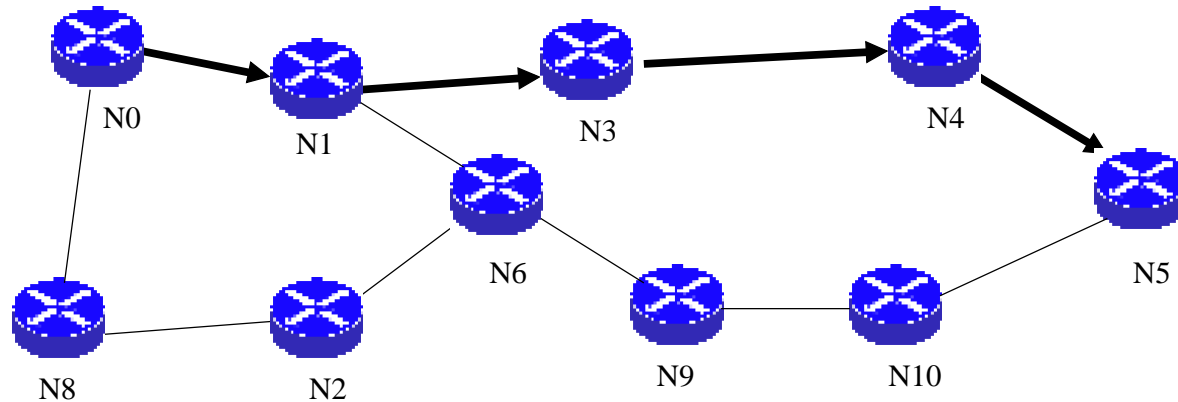
- **Génération du voisin w^i**
 - L'ensemble de flots F_i est obtenu lors de la propagation.
 - Les distances $D_u^v(w')$ sont obtenues par un algorithme de PCC dynamique. On recopie les distances $D_u^v(w)$ pour pouvoir revenir rapidement à la solution courante avant de générer w^{i+1} .
 - Dans la solution $w^i = (w_1, w_2, \dots, w_i + \Delta_i, \dots, w_M)$, il existera au moins un flot de F_i qui sera dévié tout ou partie du lien i :
 - Si $d_{min} = 0$, cela signifie qu'il n'y avait pas unicité du plus court chemin pour au moins un des flots de F_i (partage de charge). En posant $\Delta_i = 1$, ce flot sera intégralement dévié du lien i ,
 - Si $0 < d_{min} < \infty$, la solution w^i introduit du partage de charge pour au moins un des flots de F_i ,
 - Si $d_{min} = \infty$, il n'existe pas d'autre chemin ne passant pas par le lien i pour les flots de F_i . On supprime donc ce lien de ceux dont la métrique peut être modifiée.

Génération du voisinage

● Exemple

- Toutes les métriques sont à 1. Ce réseau doit écouler deux demandes : l'une de N_1 vers N_5 et l'autre de N_0 vers N_5 . Les PCC sont marquées en gras.

$$D_{N_1}^{N_5}(w) = 3 \quad \text{et} \quad D_{N_0}^{N_5}(w) = 4$$



- On veut déterminer $\Delta_{N_3 \rightarrow N_4}$.

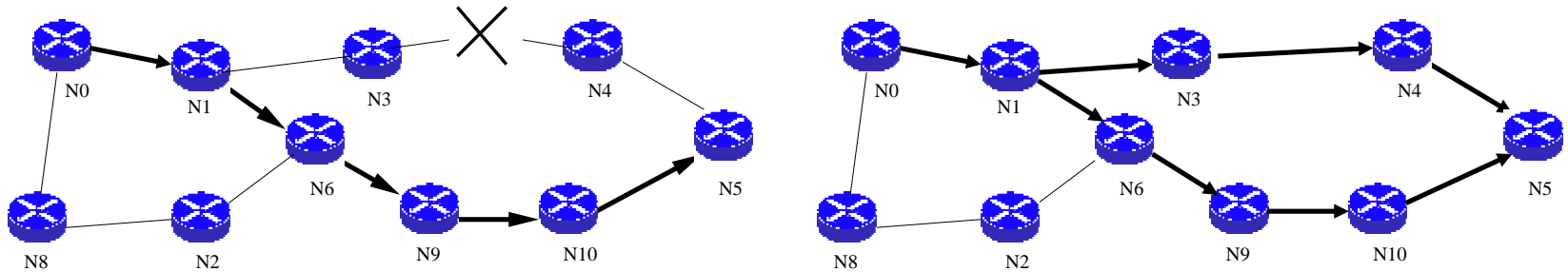
Génération du voisinage

Exemple

- On supprime le lien N3-N4 ($w'_{N3 \rightarrow N4} = \infty$) :

$$D_{N_1}^{N_5}(w') = 4 \quad \text{et} \quad D_{N_0}^{N_5}(w') = 5$$

$$\Delta_{N3 \rightarrow N4} = d_{min} = \min \{ 4 - 3, 5 - 4 \} = 1$$



Algorithme d'optimisation des métriques

● Initialisation

Lecture de la solution initiale $w = (w_1, \dots, w_M)$

Calcul des plus courts chemins : $D_u^v(w)$, $\delta_{u,v}^x(w)$, $n_u^v(w)$

Propagation des flots sur les plus courts chemins : $\gamma_u^v(w)$, $Y_{u,v}(w)$

Calcul du coût $\Phi(w)$ de la solution initiale.

$w^* = w$

{Init. solution de coût minimum}

Algorithme d'optimisation des métriques

● Boucle Principale

while Convergence() = false **do**

$\Phi_{min} = \infty$

for $i = 1 \dots M$ **do**

Calcul de Δ_i : $w^i = (w_1, w_2, \dots, w_i + \Delta_i, \dots, w_M)$

Calcul des plus courts chemins : $D_u^v(w^i)$, $\delta_{u,v}^x(w^i)$, $n_u^v(w^i)$

Propagation des flots : $\gamma_u^v(w^i)$, $Y_{u,v}(w^i)$

Calcul du coût $\Phi(w^i)$

if $\Phi(w^i) \leq \Phi_{min}$ **then**

$w_{next} = w^i$ et $\Phi_{min} = \Phi(w^i)$

end if

end for

$w = w_{next}$

if $\Phi(w) < \Phi(w^*)$ **then**

$w^* = w$

{Copie de la solution de coût minimum}

end if

end while

Algorithme d'optimisation des métriques

● Les étapes clés (pour chaque lien i)

- Calcul de la variation de métrique Δ_i : calcul de PCC
- Calcul des PCC associés à la solution w^i
- Calcul du coût : propagation des trafics

● Il faut donc optimiser

- Le calcul des PCC suite à une augmentation de métrique,
- La propagation des trafics suite à une augmentation de métrique,

Algorithme de PCC dynamique

● Algorithme de Ramalingam & Reps

- La modification de la métrique d'un seul lien n'impacte souvent qu'un petit nombre de PCC.
- Des algorithmes, dits de plus courts chemins dynamiques, permettent de traiter ce type de problèmes plus efficacement que les algorithmes de Dijkstra ou de Bellman-Ford.
- On présente une amélioration de l'algorithme de Ramalingam et Reps pour le cas d'une augmentation de métrique.

Algorithme de Ramalingam & Reps

● Contexte

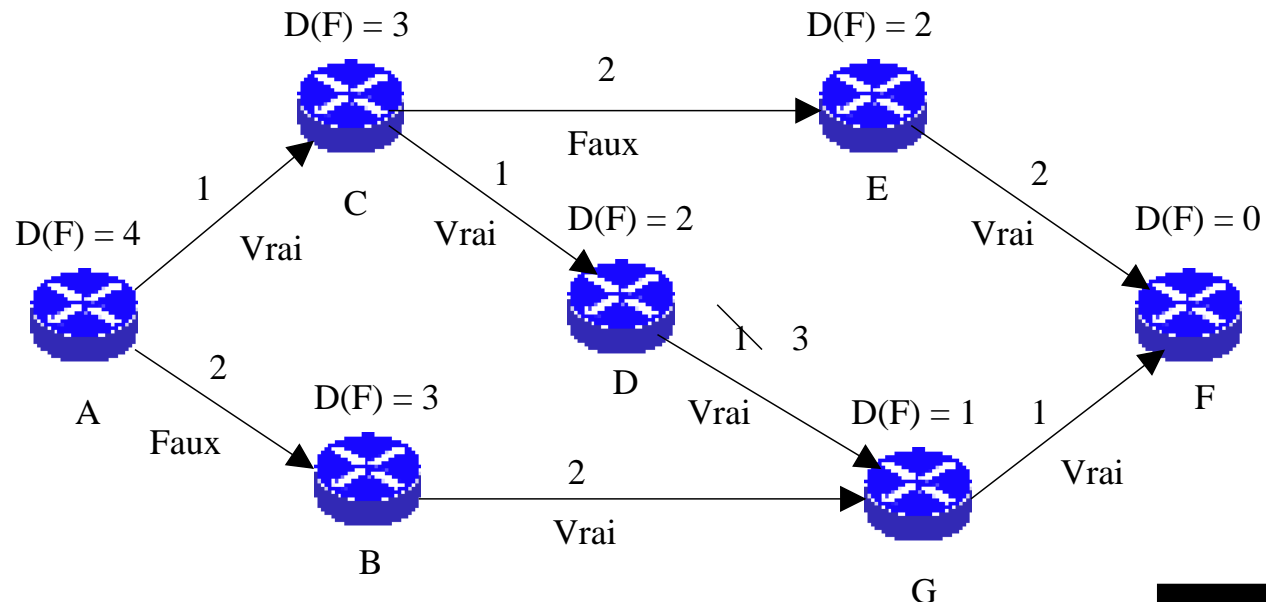
- On suppose que le calcul complet de toutes les tables de distance a été fait.
- On se place ici dans le cas où la métrique d'un lien (s, t) a augmentée d'une valeur Δ .
- On note w le vecteur de métriques initial et w' celui obtenu apres modification. Au début de l'algorithme, on a pour chaque noeud x et chaque lien (u, v) :

$$D_u^v(w') = D_u^v(w), \delta_{u,v}^x(w') = \delta_{u,v}^x(w), n_u^v(w') = n_u^v(w)$$

Algorithme de Ramalingam & Reps

Exemple

- On suppose que le lien modifié est $(s, t) = (D, G)$ et que sa métrique passe de 1 à 3 ($\Delta = 2$).
- La destination pour laquelle on veut re-calculer les PCC est le noeud F . Sur la figure, on indique :
 - Pour chaque lien (u, v) , sa métrique w_{uv} et son utilisation vers F , $\delta_{u,v}^F(w)$,
 - Pour chaque noeud u , sa distance à F : $D_u^F(w)$.



Algorithme de Ramalingam & Reps

● 1ère étape : propagation amont du changement.

- Elle permet de remonter le long des chemins utilisés pour joindre F et d'identifier les noeuds et les liens impactés par la modification

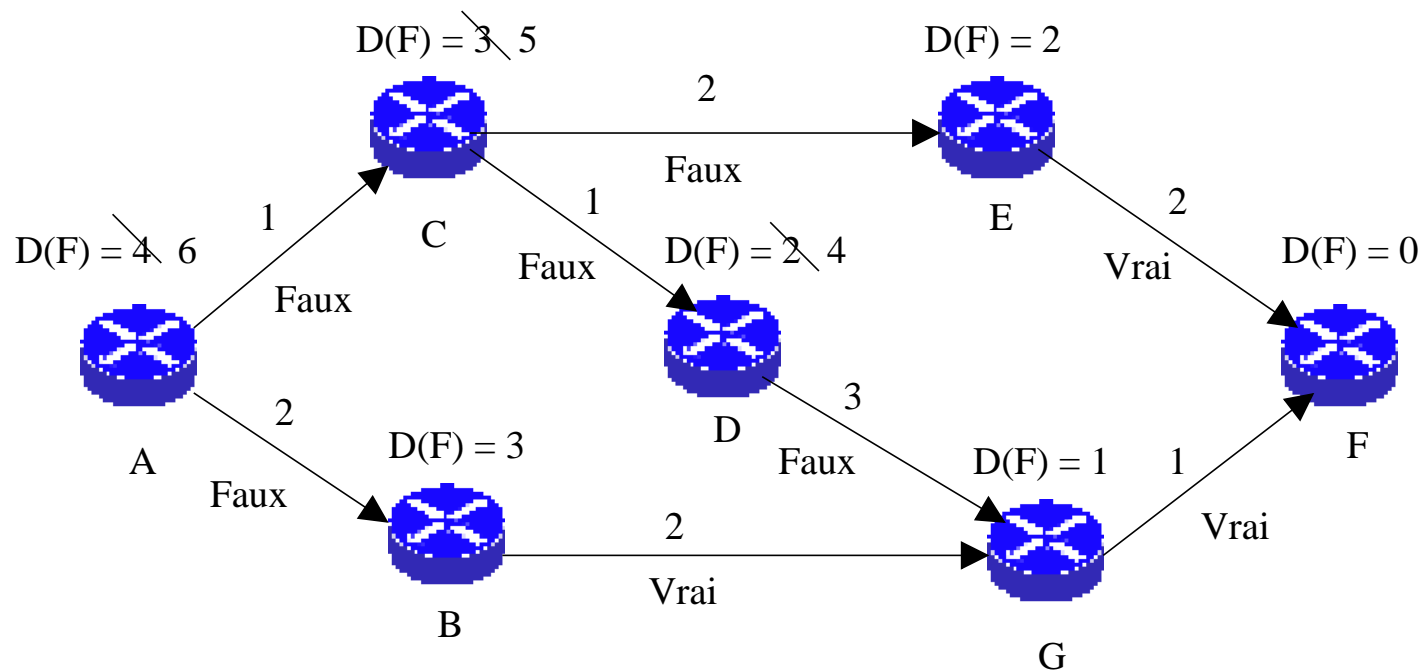
$$w_{s,t} \rightarrow w_{s,t} + \Delta.$$

- A1. On vérifie que ce changement fera évoluer des distances vers F. Pour cela, il faut que : $\delta_{s,t}^F(w) = 1$ et $n_s^F(w) = 1$. Sinon, on fait $\delta_{s,t}^F(w') = 0$ et l'algorithme est terminé.
- A2. On initialise une liste Q avec le nœud source de l'interface modifiée : $Q = \{s\}$.
- A3. Pour chaque nœud $v \in Q$ et pour chaque lien (u, v) utilisé, i.e. $\delta_{u,v}^F(w) = 1$, on fait $D_u^F(w') = D_u^F(w) + \Delta$. Si $n_u^F(w) = 1$ alors, u est ajouté dans Q et on fixe $\delta_{u,v}^F(w') = 0$ (lien non utilisé).

Algorithme de Ramalingam & Reps

● Exemple : illustration de l'étape 1

- Evolution des distances vers F car $\delta_{D,G}^F(w) = 1$ et $n_D^F(w) = 1$.
- Au départ, $Q = \{D\}$. En remontant les PCC utilisés : $Q = \{D, C, A\}$



Algorithme de Ramalingam & Reps

● 2nd étape : mise à jour des distances

- Si $\Delta = 1$, vu que $n_s^F(w) = 1$ (cf A1), on a $\delta_{s,t}^F(w') = 1$ même après changement et les distances $D_u^F(w')$, $u \in Q$, calculées à l'étape 1 sont exactes.
- Sinon, il est possible que le lien (s, t) ne soit plus utilisé, auquel cas ces distances peuvent avoir été sur-évaluées. Si $\Delta > 1$, il faut les ajuster.

- B1. On traite le routeur source s . On va regarder s'il existe un chemin au départ de s tel que sa distance soit plus petite que $D_s^F(w) + \Delta$. On calcule :

$$d = \min_{(s,v)} \left[w'_{s,v} + D_v^F(w) \right]$$

Si $d < D_s^F(w')$, on pose $\Delta_1 = d - D_s^F(w')$. Δ_1 représente l'erreur sur l'augmentation de distance qui a été propagée à tous les noeuds de Q . On met à jour la distance de s à F : $D_s^F(w') = d$.

Algorithme de Ramalingam & Reps

● 2nd étape : mise à jour des distances ($\Delta > 1$)

- B2. Pour tout noeud $u \in Q$, on corrige les distances en faisant :

$D_u^F(w') = D_u^F(w') - \Delta_1$. On calcule alors :

$$d = \min_{(u,v)} \left[w'_{u,v} + D_v^F(w) \right]$$

Si $d < D_u^F(w')$, on corrige la distance de u à F en faisant $D_u^F(w') = d$, puis on insère u dans une map H à l'associant à la distance d .

- B3. Cette dernière étape permet de réajuster les distances faussées du fait de l'ordre dans lequel les routeurs ont été traités à l'étape B2. Si le traitement précédent était fait dans l'ordre des distances à la destination, cette sous-partie serait inutile.

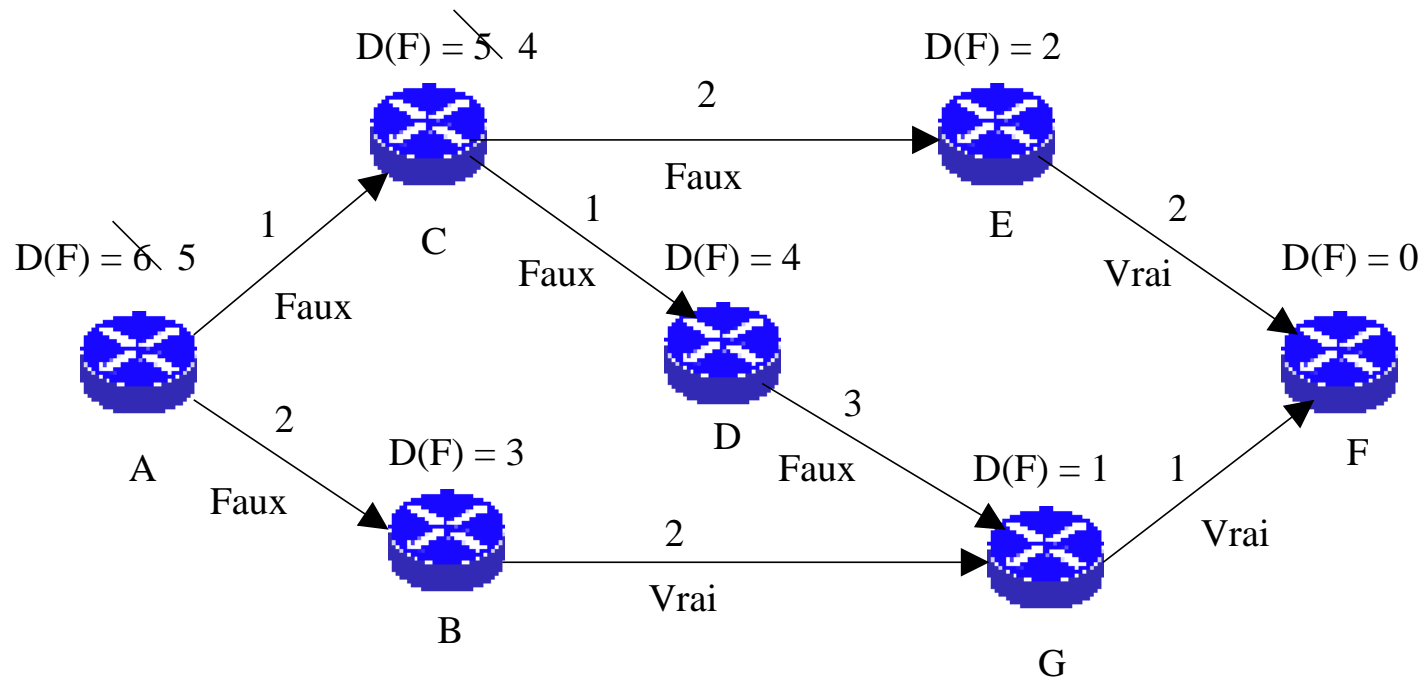
Tant que $H \neq \emptyset$, on retire u de H où $u = \operatorname{argmin}_{u \in H} (D_u^F(w'))$.

Pour toutes les interfaces (v, u) entrantes dans u , on compare : $d_1 = D_v^F(w')$ à $d_2 = D_u^F(w') + w'_{v,u}$. Si v vérifie $d_1 > d_2$ alors, on fixe $D_v^F(w') = d_2$ et on ajoute le couple $(v, D_v^F(w'))$ dans H .

Algorithme de Ramalingam & Reps

● Exemple : illustration de l'étape 2

- On obtient $\Delta_1 = 0$ à l'étape B1.
- On insère $(C, 4)$ puis $(A, 5)$ à l'étape B2.



Algorithme de Ramalingam & Reps

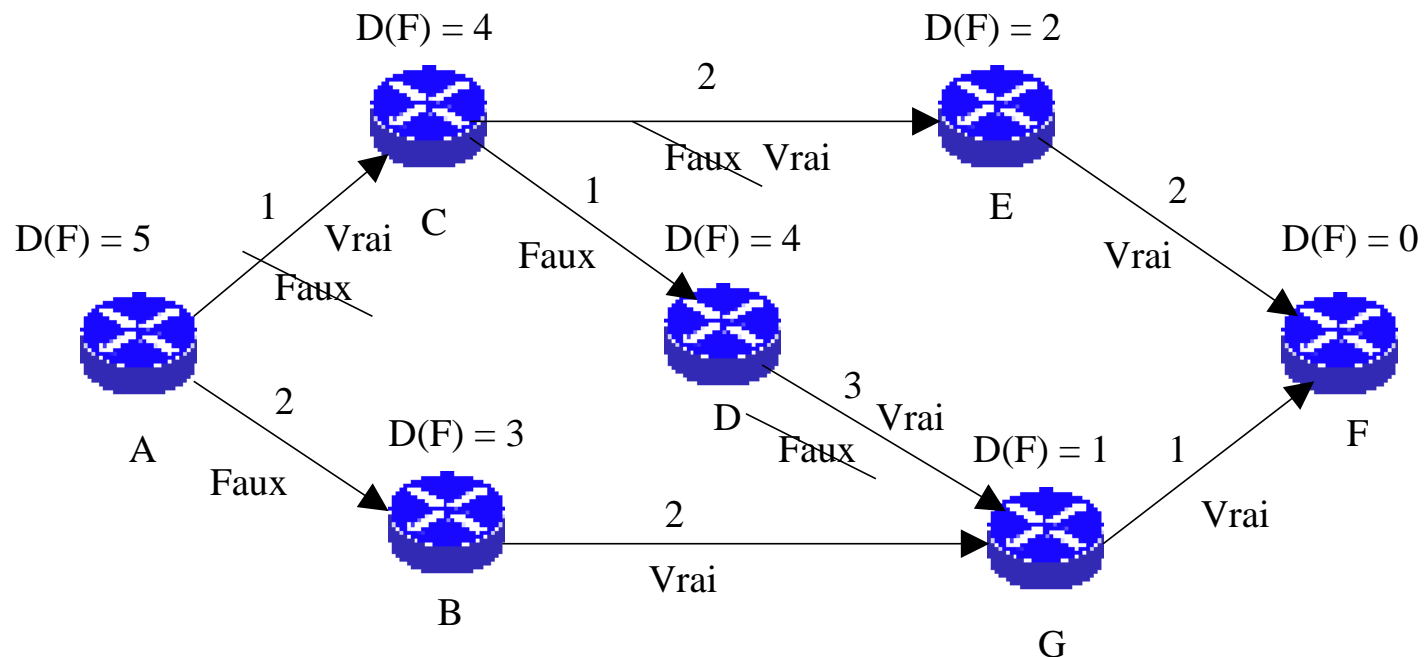
- **3ème étape : calcul des PCC à l'aide des nouvelles distances.**
 - Elle permet de corriger les flags d'utilisation des liens $\delta_{u,v}^F(w')$, ainsi que le nombre de PCC vers F pour chaque noeud u , $n_u^F(w')$.
 - Pour chaque noeud $u \in Q$, on va tester les distances sur les différents liens sortants. Pour chaque lien (u, v) on compare : $D_u^F(w')$ à $D_v^F(w') + w'_{u,v}$. Si l'égalité est vérifiée, on fait:

$$\delta_{u,v}^F(w') = 1 \quad \text{et} \quad n_u^F(w') = n_u^F(w') + 1$$

Algorithme de Ramalingam & Reps

● Exemple : illustration de l'étape 3

- On peut remarquer que nous n'avons modifié que quelques noeuds : D, C et A.
- L'algorithme de Dijkstra demanderait un coût calculatoire bien plus élevé pour obtenir le même résultat.



La propagation des trafics

● Introduction

- La propagation des trafics permet de calculer la charge des liens, qui est nécessaire pour pouvoir calculer le coût.
- On considère ici la propagation vers un noeud x . Il faudra itérer sur toutes les destinations x pour calculer la charge $Y_{i,j}(w)$ des liens.
- La relation de base (conservation des flots) est :

$$Y_{i,j}^x(w) = \frac{\lambda_i^x + \sum_{k \neq x} Y_{k,i}^x(w)}{n_i^x}$$

- Propagation statique et propagation dynamique :
 - Le cas statique propage tous les trafics.
 - Le cas dynamique est utilisé suite à un changement de métrique. Il ne propage que des variations de trafic pour les noeuds impactés par la modification de métrique.

La propagation statique

● Algorithme

- Parcours des noeuds des plus éloignés aux plus proches de x
- Pour chaque noeud i , on calcule le trafic $\gamma_i^x(w)$ reçu pour la destination x : somme du trafic direct et des trafics $Y_{k,i}^x(w)$ reçu sur chaque lien entrant (k, i) .
- Ce trafic est réparti sur les liens sortants (partage de charge).

$Q = \{1, \dots, N\} - \{x\}$

while $Q \neq \emptyset$ **do**

$i = \operatorname{argmax}_{u \in Q} D_u^x(w)$

$\gamma_i^x = \lambda_i^x$

$\forall k$ tel que $\delta_{k,i}^x(w) = 1 : \gamma_i^x(w) = \gamma_i^x(w) + Y_{k,i}^x(w)$

$\forall j$ tel que $\delta_{i,j}^x(w) = 1 : Y_{i,j}^x(w) = \gamma_i^x(w) / n_i^x$

$Q = Q - \{i\}$

end while

La propagation dynamique

● Algorithme

● Soit M la liste des noeuds affectés par le changement de métrique.

● Un noeud est affecté s'il est source ou destination d'un lien dont l'utilisation a été modifiée suite au changement de métrique.

while $M \neq \emptyset$ **do**

$i = \operatorname{argmax}_{u \in M} D_u^x(w)$ { i est le noeud le plus éloigné de x }

$M = M - \{i\}$

$Y = \lambda_i^x(w)$ {Ajout du trafic direct en i vers x }

$\forall k$ tel que $\delta_{k,i}^x(w) = 1 : Y = Y + Y_{k,i}^x(w)$ {Trafic des liens entrants}

$Y = Y / n_i^x$ {Partage de charge}

for j tel que $\delta_{i,j}^x = 1$ **do**

if $Y_{i,j}^x \neq Y$ **then**

$Y_{i,j}^x = Y$

{Propagation sur les liens sortants}

$M = M \cup \{j\}$

{Le trafic vers j a changé}

end if

end for

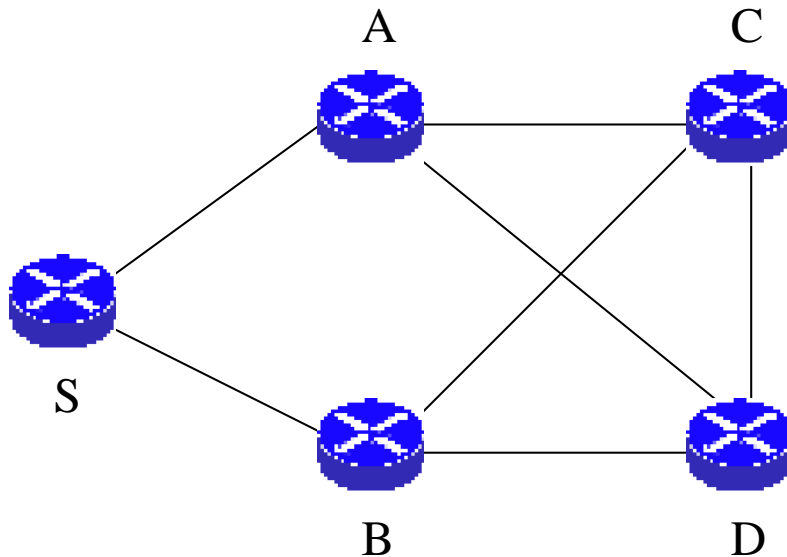
end while



Résultats

Topologie à 5 nœuds et avec une demande

Données :



16 Kbps : A/D, D/A, B/D, et D/B.

64 Kbps : C/D et D/C.

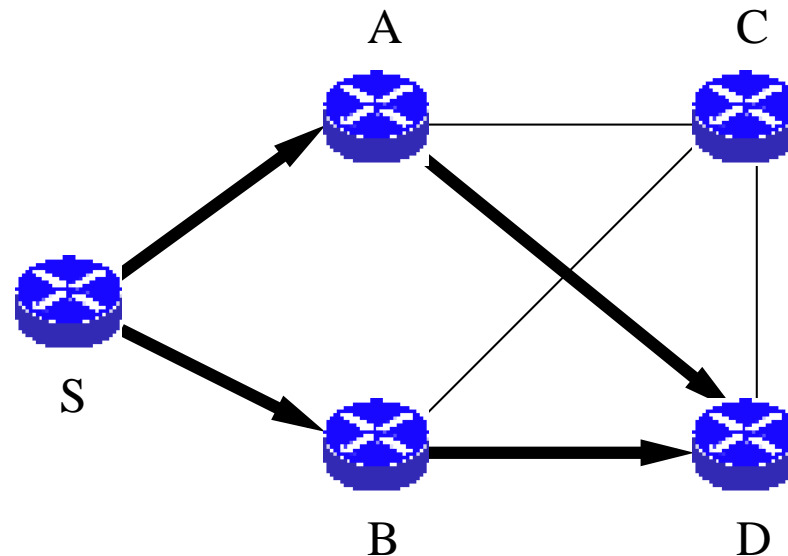
1920 Kbps : les autres.

● Une demande : 50 Kbps entre S et D.

● Métriques à 1.

Topologie à 5 nœuds et avec une demande

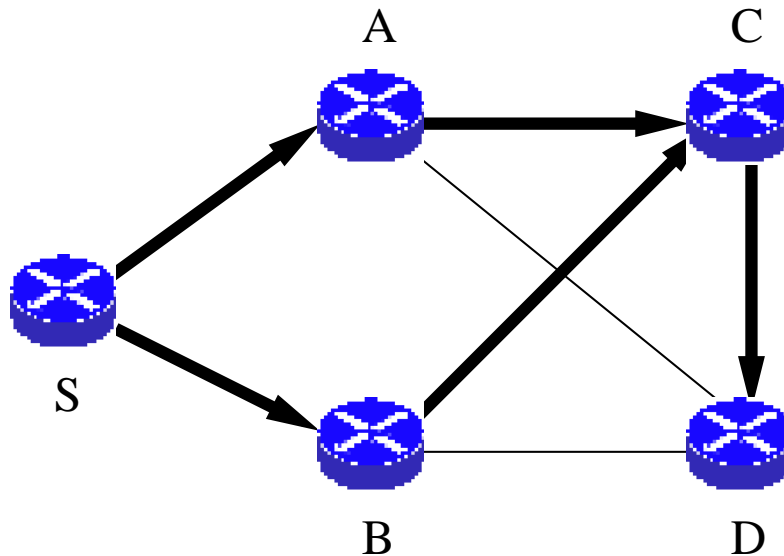
● Routage initial



- 25 kbps sur les interfaces A/D et B/D de capacité 16 kbps.

Topologie à 5 nœuds et avec une demande

● Après optimisation

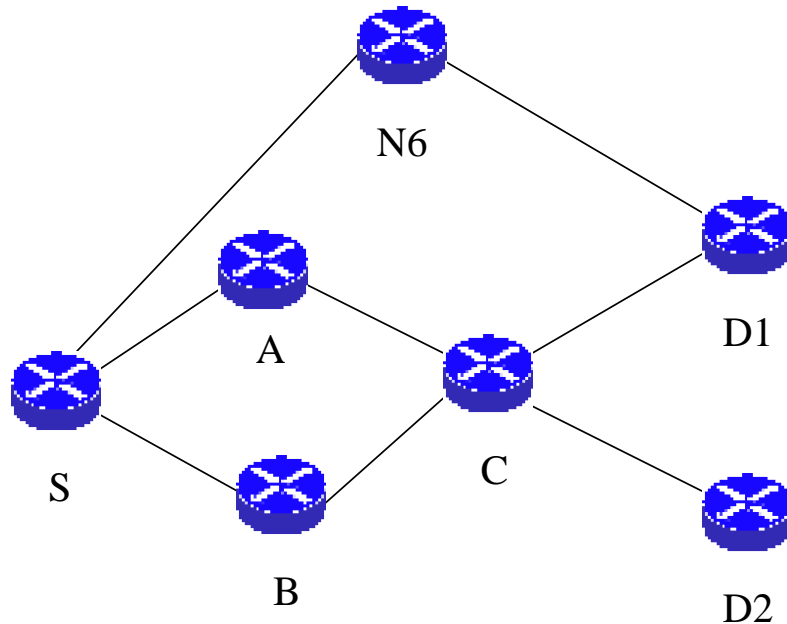


+ 1 sur l'interface A/D
+ 1 sur l'interface B/D.
+ 1 sur l'interface A/D.
+ 1 sur l'interface B/D.

● La solution initiale est un minimum local.

Topologie à 7 nœuds et 2 demandes

Données :

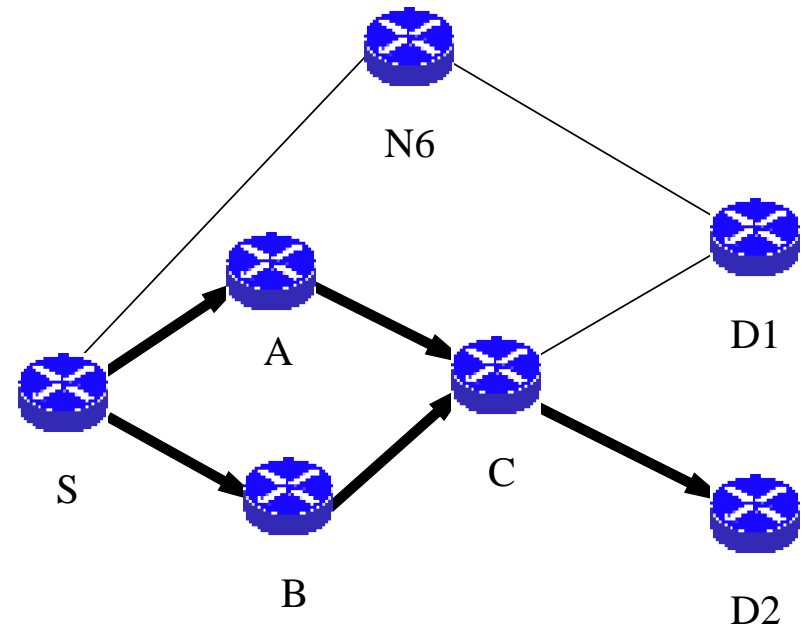
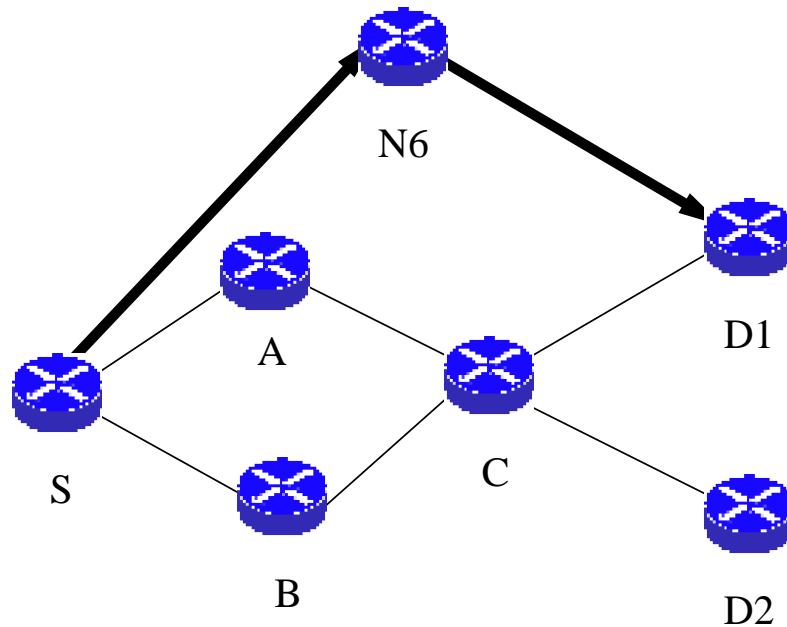


16 Kbps : S/N6.
64 Kbps : les autres.

- 2 demandes : S vers D1 de 20 Kbps et S vers D2 de 10 Kbps.
- Métriques à 1.

Topologie à 7 nœuds et 2 demandes

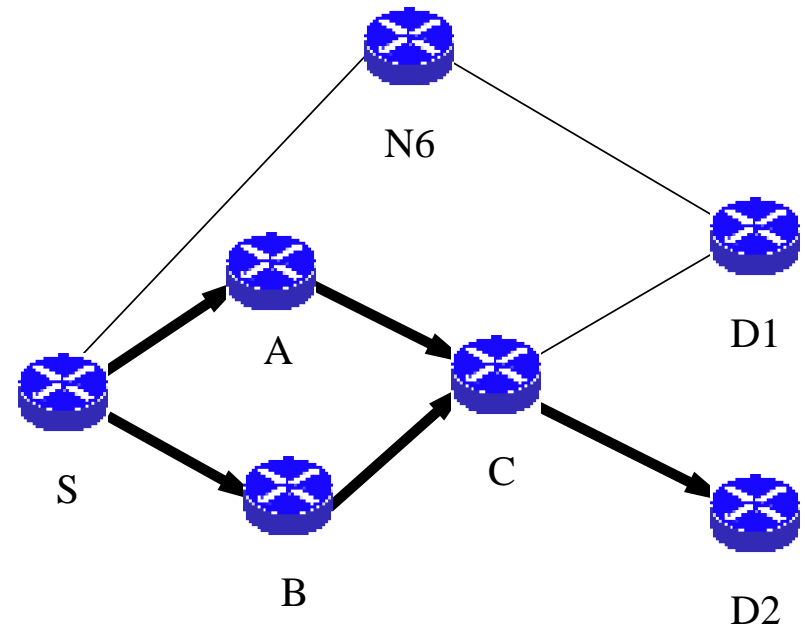
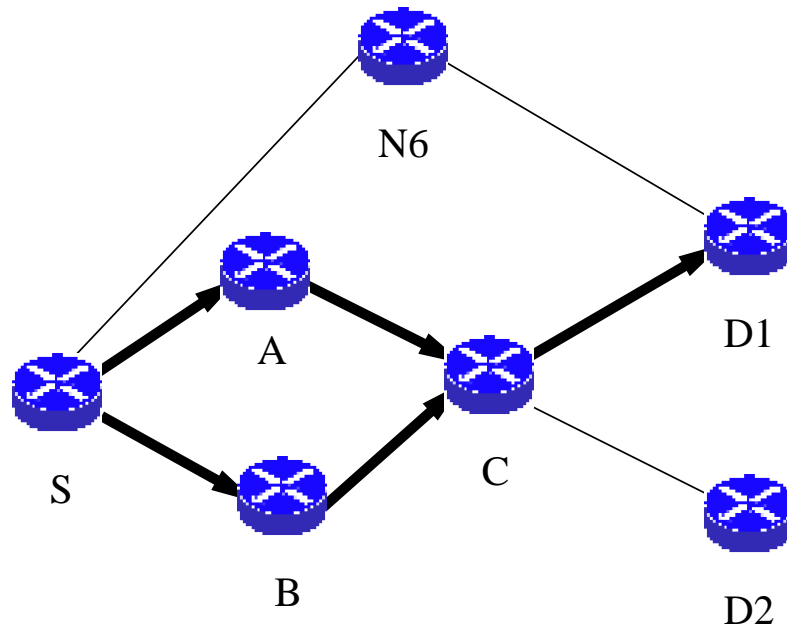
● Routage initial



● Saturation de l'interface S/N6.

Topologie à 7 nœuds et 2 demandes

● Après optimisation



● Modifications :

- Changement 1 :
+ 1 sur l'interface S/N6
- Changement 2 :
+ 1 sur l'interface S/N6



Conclusion

Conclusion

● Optimisation des métriques de routage IP

● Problème :

- Augmentation du trafic et besoins de QoS
- Contexte concurrentiel interdisant un sur-dimensionnement excessif
- Jouer sur les métriques IP pour adapter les routes aux trafics transportés par le réseau.

● Heuristique présentée :

- Technique de recherche locale
- Originalité : structure de voisinage.
- Utilisation d'un algo de PCC dynamique et propagation dynamique des trafics.